

Starkniederschlagshöhen und -spenden gemäß KOSTRA-DWD-2010R

Auswertungszeitraum von 1951 - 2010, Januar - Dezember

Rasterfeld: 99041

Zeile: 99

Spalte: 41

Seite: 1/2

| Dauerstufe D | | Wiederkehrzeit T | | | | | | | | | | | | | | | | | |
|--------------|-----|------------------|------------|------|------------|-------|------------|-------|------------|-------|------------|-------|------------|-------|------------|-------|------------|-------|------------|
| | | 1 a | | 2 a | | 3 a | | 5 a | | 10 a | | 20 a | | 30 a | | 50 a | | 100 a | |
| min | Std | mm | l / (s ha) | mm | l / (s ha) | mm | l / (s ha) | mm | l / (s ha) | mm | l / (s ha) | mm | l / (s ha) | mm | l / (s ha) | mm | l / (s ha) | mm | l / (s ha) |
| 5 | | 5,7 | 190,0 | 7,6 | 253,3 | 8,7 | 290,0 | 10,1 | 336,7 | 12,0 | 400,0 | 13,9 | 463,3 | 15,0 | 500,0 | 16,4 | 546,7 | 18,3 | 610,0 |
| 10 | | 9,4 | 156,7 | 12,0 | 200,0 | 13,6 | 226,7 | 15,5 | 258,3 | 18,2 | 303,3 | 20,8 | 346,7 | 22,3 | 371,7 | 24,3 | 405,0 | 26,9 | 448,3 |
| 15 | | 12,1 | 134,4 | 15,3 | 170,0 | 17,1 | 190,0 | 19,5 | 216,7 | 22,6 | 251,1 | 25,8 | 286,7 | 27,7 | 307,8 | 30,0 | 333,3 | 33,2 | 368,9 |
| 20 | | 14,1 | 117,5 | 17,7 | 147,5 | 19,9 | 165,8 | 22,5 | 187,5 | 26,2 | 218,3 | 29,8 | 248,3 | 31,9 | 265,8 | 34,6 | 288,3 | 38,2 | 318,3 |
| 30 | | 16,9 | 93,9 | 21,3 | 118,3 | 23,9 | 132,8 | 27,1 | 150,6 | 31,5 | 175,0 | 35,9 | 199,4 | 38,4 | 213,3 | 41,7 | 231,7 | 46,1 | 256,1 |
| 45 | | 19,5 | 72,2 | 24,8 | 91,9 | 27,9 | 103,3 | 31,8 | 117,8 | 37,1 | 137,4 | 42,4 | 157,0 | 45,5 | 168,5 | 49,4 | 183,0 | 54,7 | 202,6 |
| 60 | | 21,1 | 58,6 | 27,2 | 75,6 | 30,7 | 85,3 | 35,2 | 97,8 | 41,2 | 114,4 | 47,3 | 131,4 | 50,9 | 141,4 | 55,3 | 153,6 | 61,4 | 170,6 |
| 90 | | 23,9 | 44,3 | 30,4 | 56,3 | 34,2 | 63,3 | 39,1 | 72,4 | 45,6 | 84,4 | 52,1 | 96,5 | 55,9 | 103,5 | 60,8 | 112,6 | 67,3 | 124,6 |
| 120 | 2 | 26,1 | 36,3 | 33,0 | 45,8 | 37,0 | 51,4 | 42,1 | 58,5 | 49,0 | 68,1 | 55,8 | 77,5 | 59,9 | 83,2 | 64,9 | 90,1 | 71,8 | 99,7 |
| 180 | 3 | 29,5 | 27,3 | 36,9 | 34,2 | 41,3 | 38,2 | 46,7 | 43,2 | 54,2 | 50,2 | 61,6 | 57,0 | 65,9 | 61,0 | 71,4 | 66,1 | 78,8 | 73,0 |
| 240 | 4 | 32,2 | 22,4 | 40,0 | 27,8 | 44,6 | 31,0 | 50,4 | 35,0 | 58,2 | 40,4 | 66,0 | 45,8 | 70,6 | 49,0 | 76,3 | 53,0 | 84,2 | 58,5 |
| 360 | 6 | 36,5 | 16,9 | 44,9 | 20,8 | 49,8 | 23,1 | 56,0 | 25,9 | 64,4 | 29,8 | 72,9 | 33,8 | 77,8 | 36,0 | 84,0 | 38,9 | 92,4 | 42,8 |
| 540 | 9 | 41,3 | 12,7 | 50,3 | 15,5 | 55,7 | 17,2 | 62,3 | 19,2 | 71,4 | 22,0 | 80,5 | 24,8 | 85,8 | 26,5 | 92,5 | 28,5 | 101,5 | 31,3 |
| 720 | 12 | 45,1 | 10,4 | 54,6 | 12,6 | 60,2 | 13,9 | 67,3 | 15,6 | 76,8 | 17,8 | 86,4 | 20,0 | 92,0 | 21,3 | 99,0 | 22,9 | 108,6 | 25,1 |
| 1080 | 18 | 51,0 | 7,9 | 61,3 | 9,5 | 67,3 | 10,4 | 74,9 | 11,6 | 85,2 | 13,1 | 95,5 | 14,7 | 101,5 | 15,7 | 109,1 | 16,8 | 119,4 | 18,4 |
| 1440 | 24 | 55,7 | 6,4 | 66,6 | 7,7 | 72,9 | 8,4 | 80,9 | 9,4 | 91,7 | 10,6 | 102,6 | 11,9 | 109,0 | 12,6 | 116,9 | 13,5 | 127,8 | 14,8 |
| 2880 | 48 | 72,0 | 4,2 | 85,7 | 5,0 | 93,7 | 5,4 | 103,8 | 6,0 | 117,4 | 6,8 | 131,1 | 7,6 | 139,1 | 8,0 | 149,2 | 8,6 | 162,9 | 9,4 |
| 4320 | 72 | 83,7 | 3,2 | 99,0 | 3,8 | 108,0 | 4,2 | 119,3 | 4,6 | 134,6 | 5,2 | 149,9 | 5,8 | 158,9 | 6,1 | 170,2 | 6,6 | 185,5 | 7,2 |

Angaben in mm: Bemessungsniederschlagswerte h(n)

Angaben in l / (s ha): Regenspende R(n) mit $R(n) = h(n) \times 1,666667 / D[\text{min}]$

Toleranzbereiche:

+/- 10 % für $1 a \leq T \leq 5 a$

+/- 15 % für $5 a < T \leq 50 a$

+/- 20 % für $50 a < T \leq 100 a$

Datenbasis: KOSTRA-DWD-2010R des Deutschen Wetterdienstes. Die Regenspende wurde auf Basis des Bemessungsniederschlags zur jeweiligen Andauer berechnet.

Für die Richtigkeit und Aktualität der Angaben wird keine Gewähr übernommen. Erstellt 07/2022.

Starkniederschlagshöhen und -spenden gemäß KOSTRA-DWD-2010R

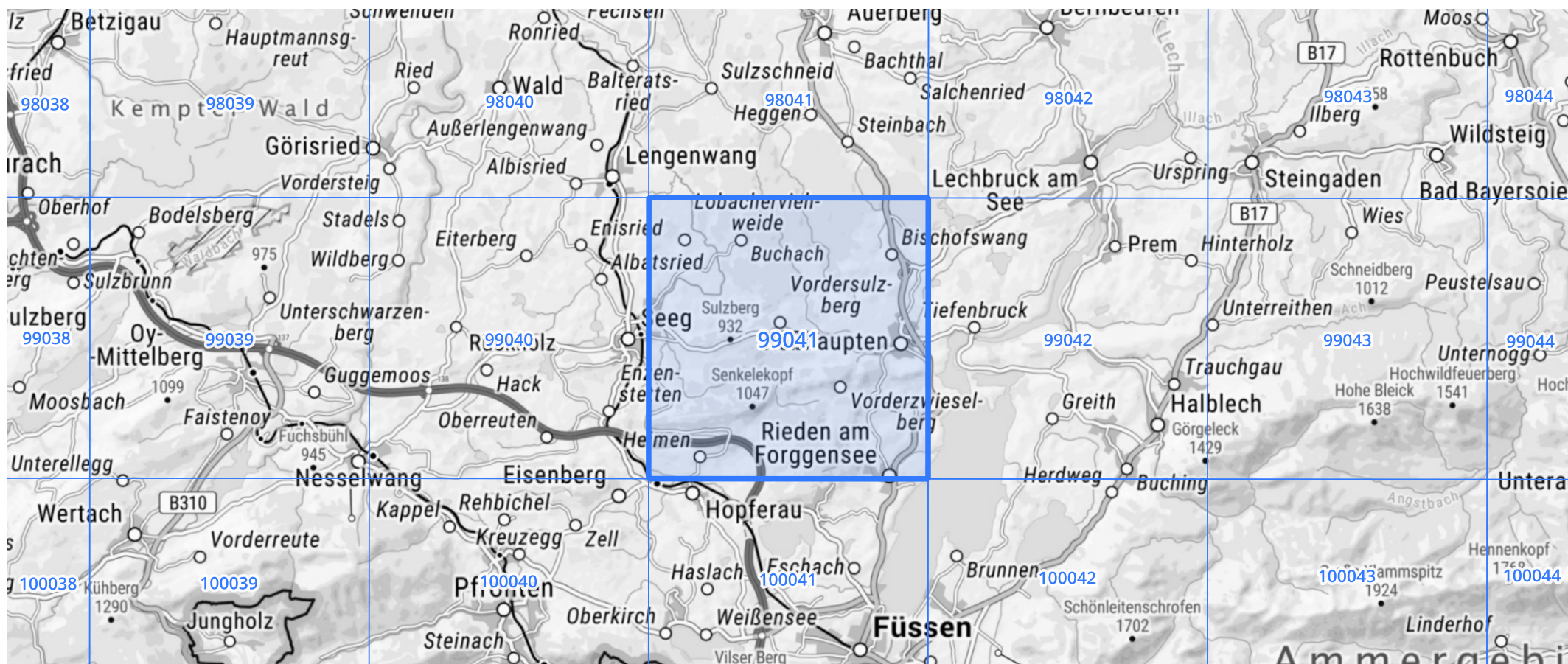
Auswertungszeitraum von 1951 - 2010, Januar - Dezember

Rasterfeld: 99041

Zeile: 99

Spalte: 41

Seite: 2/2



Quelle Rasterdaten: KOSTRA-DWD-2010R des Deutschen Wetterdienstes.

Kartendarstellung: © Bundesamt für Kartographie und Geodäsie (2022), Datenquellen: https://sgx.geodatenzentrum.de/web_public/gdz/datenquellen/Datenquellen_TopPlusOpen.html

Für die Richtigkeit und Aktualität der Angaben wird keine Gewähr übernommen. Erstellt 07/2022.